

КОМП'ЮТЕРЕНЕ ЗД МОДЕЛЮВАННЯ ГЕОМЕТРІЇ ЗРІЗІВ ЧЕРВ'ЯЧНОЇ ФРЕЗИ

Грицай І., д.т.н., проф., Топчій В., к.т.н., доц., Кук А.М., к.т.н., доц.
НУ «Львівська політехніка»

Зубасті колеса та передачі є невід'ємними складовими сучасних машин, а обсяги їх щорічного виробництва в різних галузях машинобудування складають мільйони одиниць. Основним способом нарізання зубчастих коліс в усіх організаційно-технічних типах виробництва у наш час є зубофрезерування коліс черв'ячними модульними фрезами.

Цей процес належить до найскладніших процесів різання та формоутворення, який поєднує чотири кінематичні рухи – обертання фрези, її осьову подачу, обертання заготовки та конструктивний рух – переміщення різальних елементів фрези, розташованих на гвинтовій поверхні основного черв'яка, вздовж осі фрези. Складність моделювання полягає у тому, що поверхня різання неперервно змінює своє розташування та форму стосовно зубців фрези. Ця поверхня формується на заготовці, як деяка перехідна поверхня між необробленою поверхнею та частково обробленою владиною між зубцями колеса, яке нарізають. Участь у її утворенні беруть усі зубці, які здійснюювали різання за весь час, що передує якомусь певному моменту. Неперервна зміни форми та розмірів перехідної поверхні визначає форму та розміри стружок і параметри перерізу зрізів зубців та лез інструменту, а її відтворення є основою для правильної кількісної оцінки параметрів зрізів окремих лез та зубців фрези. У свою чергу, повна та достовірна інформація про перерізи зрізів і форму та розміри шарів металу, які зрізаються в процесі зубофрезерування, є основою для розрахунку та аналізу сил різання, тертя, теплових процесів, коливань та вібрацій тощо.

З огляду на розповсюдження та значення даного процесу у сучасному машинобудуванні, його моделюванню присвячені праці низки авторів, зокрема, [1, 2]. Перевагою цих праць є представлення кінематики процесу траекторією руху окремого зубця в обертанні навколо осі фрези, а також відтворення руху зубців, які передували різанню даного зубця в положеннях по осьовій подачі. Проте цей підхід автори не поширяють на обкочування, яке є частиною кінематики процесу зубофрезерування; у вказаних працях цей рух розглядається як «позиції генерування» у виді перерізу траекторії зубця площинною міжцентрового перпендикуляру. Попри позитивні ідеї, які містять ці дослідження, вони не дають змоги повною мірою та адекватно відтворити перехідну поверхню і параметри зрізуваних шарів.

Базуючись на відомих підходах створено методику оцінки процесу різання черв'ячною фрезою, яка усуває вказані недоліки. Якщо описати геометрію сліду зубця в русі різання, то цей слід буде окреслений його контуром в повороті відносно осі фрези; цю поверхню визначено як «торойд» з індексом i (рис.1, а). У будь-якому положенні фрези та колеса торойд окремого зубця фрези обмежений зовнішньою циліндричною поверхнею заготовки та

попередньо сформованою поверхнею западини між зубцями колеса, яка після певного часу врізання виявляється сформованою [3, 4]:

1 - зубцем, попереднім стосовно даного (*i*-го), по осьовій подачі на зуб s_z тобто, зубець, найближчий до даного на гвинтовій поверхні, який вже здійснив різ. Траекторія-торойд цього зубця зміщено по осі фрези на величину одиничного лінійного переміщення Δx гвинтової поверхні черв'яка фрези: $\Delta x = \pi m / z_\phi$ у напрямку, протилежному до переміщення гвинтової поверхні черв'яка та повернуто на одиничний кут профіловального різання в напрямку обертання зубчастого колеса, де m – крок фрези та колеса; z_o , z_ϕ – відповідно, кількість зубців колеса та фрези; його індекс $(i-1)_\psi$;

2 - даним (*i*-м зубцем), коли він прорізав цю впадину в його попередньому по осьовій подачі фрези положенні: його торойд зміщуємо у напрямку, зворотному до вектора осьової подачі, на величину осьової подачі s_o ; його індекс $(i-1)_S$;

3 - попереднім до цього зубця зубцем на гвинтовій лінії, його торойд повернуто на кут ψ у напрямку, зворотному до обертання колеса, його індекс: $(i-1)_S \psi$.

Об'єднання в просторі (композиція) усіх чотирьох торойдів: «*i*», « $(i-1)_\psi$ », « $(i-1)_S$ » та « $(i-1)_S \psi$ » формує поверхню різання цього зубця, переходіну поверхню і об'ємний контур стружки, яку зрізає *i*-й зубець фрези, що розташований на певній віддалі від міжосьового перпендикуляра (рис 1,б).

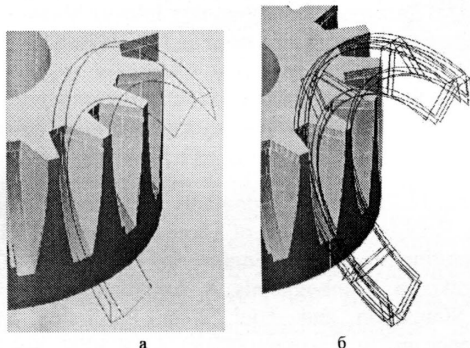


Рис.1. Траекторія руху - торойд окремого зубця фрези (а)
та композиція з торойдів, які формують поверхню різання цього зубця (б)

На рис.2 наведено схему, на якій цифрами -5, -4, ...3 позначені ділянки робочої зони, в яких було визначено форму стружок, які зрізають зубці фрези, розташовані на віддалях, кратних $3\Delta x$ відносно міжосьового перпендикуляру (від'ємний знак відповідає входній частині фрези) та геометричні 3D моделі стружок у цих позиціях; побудова виконана в системі AutoCad.

Вказана методика визначення форми та розмірів переходних поверхонь і стружки, розроблена для черв'ячного зубофрезерування, може бути

використана для аналізу та оцінки інших процесів нарізання зубчастих коліс та складних поверхонь, які відбуваються в умовах неперервного обкочування: нарізання черв'ячних коліс, циліндричних та конічних коліс з гвинтовими зубцями, шліщевих поверхонь тощо.

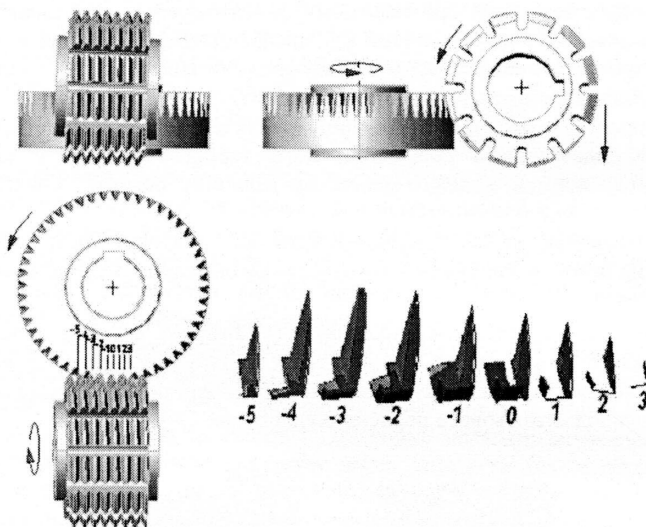


Рис.2. Позиції зубців черв'ячної фрези, в яких визначено форму стружок та 3D моделі стружок у цих позиціях

Література:

1. V. Dimitriou, N.Vidakis, A Antoniadis. Advanced Computer Aided Design Simulation of Gear Hobbing by Means of Three-Dimensional Kinematics Modeling: Journal of Manufacturing Science and Engineering OCTOBER 2007, Vol. 129 / 911.
2. K.-D. Bouzakis, S. Kombogiannis, A. Antoniadis, N. Vidakis. Gear Hobbing Cutting Process Simulation and Tool Wear Prediction Models: Journal of Manufacturing Science and Engineering FEBRUARY 2002, Vol. 124 Ő 43.
3. Грицай І.Є. Моделювання параметрів зрізів, сил та моментів під час нарізання зубчастих коліс черв'ячними фрезами. Машинознавство. N7, 1998. С.19-23.
4. Грицай І.С. Ситник В.В. Силове поле шнекової зуборізної фрези та його кількісна оцінка. Оптимізація вироб. проц. та технічний контроль в машинобуд. Вісник ДУ"ЛП". Вип.371, 1999. - С.3-13.